

[研究简报]

N-(1-异喹啉)硫代亚胺碳酸乙酯 荧光光谱的 pH 效应研究

俞芸¹, 林丽榕², 游俊², 黄荣彬², 郑兰荪^{2,3}

(1. 龙岩学院化学与材料工程系, 龙岩 364000; 2. 厦门大学化学化工学院, 厦门 361005;

3. 厦门大学固体表面国家重点实验室, 厦门 361005)

关键词 N-(1-异喹啉)硫代亚胺碳酸乙酯; 合成; 荧光光谱; pH 效应

中图分类号 O657

文献标识码 A

文章编号 0251-0790(2006)07-1250-03

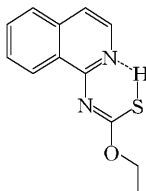
异喹啉类化合物 (IQ) 是生物碱中的一类重要化合物, 具有抗菌、抗肿瘤、镇痛、抗心率失常、降压和调节免疫功能等作用^[1]. 1位取代的异喹啉或喹啉类衍生物的脲类似物可以作为人体腺苷 A₃ 受体的拮抗物, 对 DNA 及 RNA 的复制等产生影响^[2], 因而异喹啉类衍生物的脲类似物的合成与药理作用引起了有机化学家与药理学家们的广泛关注^[3-5]; 然而对于异喹啉衍生物的脲类似物的激发态光物理行为的研究却极为少见. 本文合成了一种新的 1位取代的异喹啉衍生物的脲类似物, 发现该化合物的荧光性质随溶液酸碱度的变化十分敏感. 详细研究该化合物的荧光光谱与溶液 pH 的相关性, 将有助于了解和阐明异喹啉衍生物的脲类似物的激发态光物理行为, 为进一步研究其它异喹啉衍生物的脲类似物及其配合物的光学性质提供理论依据.

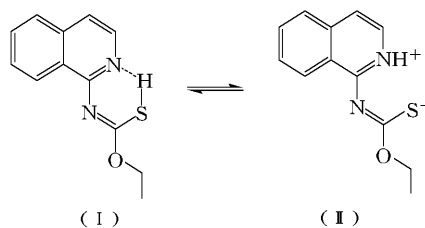
1 实验部分

1.1 试剂与仪器 1-氨基异喹啉为 Aldrich 公司生产的试剂 (纯度不低于 99%), 其它试剂均为国产分析纯试剂, 有机溶剂使用前经重蒸馏, 实验用水为二次蒸馏水.

所用仪器为 Bekeman DU-7400 型紫外-可见光谱仪, Hitachi F-4500 型荧光光谱仪 (激发波长 298 nm), Delta 320 型酸度计, CE Instruments EA 1110 元素分析仪, Varian Unity 500MHz 核磁共振仪, X-4 数字熔点仪.

1.2 实验过程 将 1-氨基异喹啉和二硫化碳、无水乙醇在碳酸氢钠存在下回流反应 48 h, 冷却后倒入适量水中, 过滤, 滤液加稀醋酸酸化, 有黄色沉淀析出, 抽滤得黄色粉末状固体, 用乙醇重结晶得目标化合物 N-(1-异喹啉)硫代亚胺碳酸乙酯

(OESQY 分子结构式见 Scheme 1, 经 X 射线单晶衍射测定了该分子结构以  式存在, 晶体结构另文发表). m. p. 131 ~ 132 . MS: 233.0 (M⁺ + 1, 100), ¹H NMR (500 MHz, CDCl₃), δ: 1.48 (t, 3H, CH₃), 4.62 (q, 2H, -OCH₂), 7.22 (d, 1H, H5), 7.56 (d, 1H, H8), 7.66 (t, 1H, H7), 7.74



Scheme 1 Structure of OESQY

(d, 1H, H4), 7.83 (t, 1H, H6), 8.79 (d, 1H, H3). 元素分析计算值 [% , C₁₂H₁₂ON₂S (M_r = 232.30)]: C 62.046, H 5.207, N 12.059; 测定值 (%): C 62.044, H 5.203, N 11.975.

配制 OESQY 的乙醇储备液备用. 在一系列 10 mL 容量瓶中分别加入 50 μL 2.2 × 10⁻³ mol/L OESQY 的乙醇溶液, 加入 5 mL 乙醇, 1 mL 1.0 mol/L NaCl 溶液, 一定量的 HCl 或 NaOH 标准溶液,

收稿日期: 2005-09-21.

基金项目: 教育部留学回国人员科研启动基金 (批准号: K13057) 资助.

联系人简介: 林丽榕 (1968 年出生), 女, 博士, 副教授, 主要从事荧光分析法与发光材料的研究. E-mail: linlr@xmu.edu.cn

用水稀释至刻度, 摇匀, 得到一系列不同 pH 值的醇-水 (体积分数为 50%) 溶液. 较强酸碱的 pH 值根据氢氧化钠和盐酸的用量计算, 较弱酸碱溶液的 pH 值用酸度计测量后扫描紫外吸收光谱和荧光光谱. 全部测量均在室温下进行.

2 结果与讨论

考察了 OESQY 在不同溶剂 1,4-二氧六环、四氢呋喃、乙腈、乙醇和乙醇-水中的荧光光谱, 结果发现, 随着溶剂极性的增大, 荧光光谱几乎不发生红移, 表明该物种的发射态不具有分子内电荷转移特征或电荷转移不明显. 改变溶液 pH, 观察到 OESQY 的荧光光谱对 pH 的变化敏感. 由图 1(A) 可见, OESQY 在 $3.39 < \text{pH} < 7.00$ 范围内时, 随着溶液 pH 值的降低, 荧光强度逐渐降低, 但峰位置不随溶液 pH 值的变化而变化, 表明溶液中发光物种并未改变, 而只是发光物种的浓度随溶液 pH 值的变化而改变. 这是由于荧光体的基态和/或激发态随酸碱离解平衡的移动所致^[6]. 当 pH 值降低到 3.39 后, 荧光强度却随 pH 值的继续降低而增强, 峰形也发生了改变, 荧光发射峰从 412 nm 逐渐蓝移至 400 nm, 在 360 和 400 nm 之间出现肩峰, 结果如图 1(B) 所示. 这是由于 OESQY 亚胺氮原子的质子化, 减弱了亚胺氮原子上的孤对电子向异喹啉环的电子转移过程, 导致荧光强度的增强^[7].

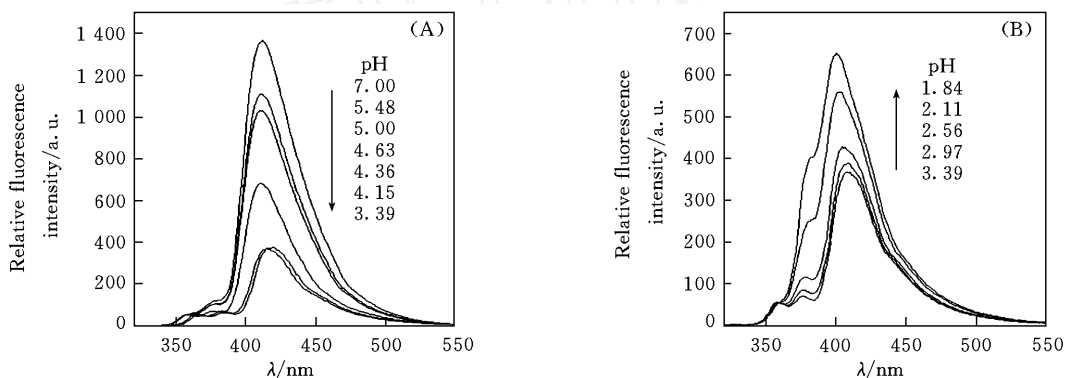
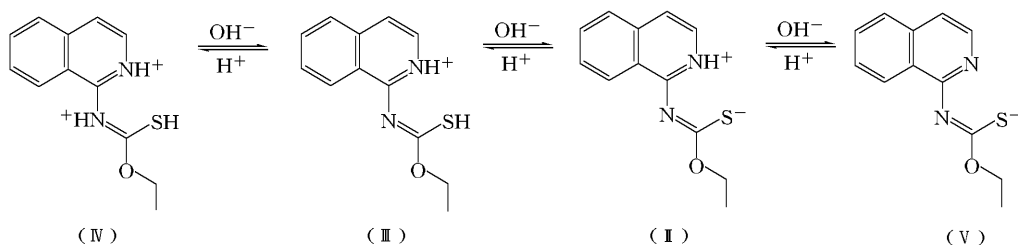


Fig 1 Fluorescence emission spectra of OESQY in acid solutions

此时 OESQY 一价阳离子形态 (IV) 与二价阳离子形态 (V) 并存, 并逐渐向二价阳离子形态转化; 当 $\text{pH} < 2$ 时, 继续增大溶液的酸度, 荧光强度和峰位置都不再改变, 溶液中化合物主要以 OESQY 完全质子化的二价阳离子形式 (V) 存在, 所以荧光强度和峰位置不再随 pH 降低而改变. OESQY 在溶液中质子解离平衡表示如 Scheme 2



Scheme 2 Acid-base equilibrium of OESQY in solution

在弱碱性条件下, OESQY 的荧光光谱如图 2(A) 所示, 随着溶液 pH 值的上升, 荧光强度逐渐增大, 当 pH 值增加到 10.68 时, 荧光强度突然增大了近 3 倍. 由图 2 插图可见, 发生突跃的拐点处的 pH 值为 10.39. 吸收光谱研究证实, 在相同的 pH 范围内发生了基态的酸碱电离, 表明 OESQY 的基态和激发态发生了质子解离作用 (如 Scheme 2). 随着 pH 值的增大, 从主要以一价阳离子形态 (IV) 存在逐步向两性离子 (III) 转化, 拐点处的 pH 值即为 OESQY (III) 巯基的 $\text{p}K_a$. 可以认为, 此时两性离子 (III) 形式为主要的发光物种, 所以荧光强度发生了突跃. 这与酸性溶液中讨论的发光物种是一致的.

OESQY 在较强碱性溶液中随 pH 值变化的荧光光谱见图 2(B). 当 $\text{pH} > 11.17$ 时, 随着溶液 pH 值的增大, 荧光强度逐渐降低, 荧光发射峰逐渐红移, 并且在 451 nm 处形成一个等发射点, 表明溶液中发生了取决于 pH 大小的、具有确定化学计量比的形态转化平衡^[8], 即 OESQY 两性离子失去异喹

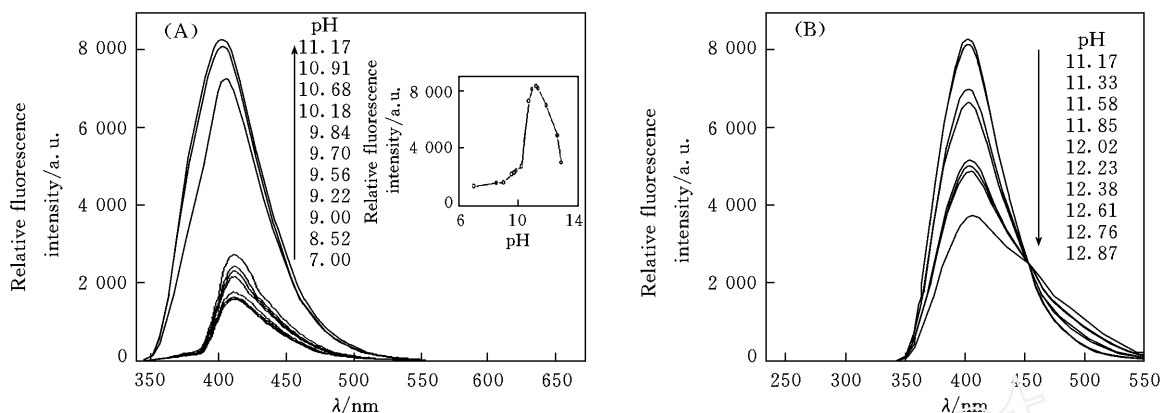


Fig 2 Fluorescence emission spectra of OESQY in base solutions

啉环 N 原子上的质子, 转化成为一价阴离子 ()。继续增大 pH 值, 只是发生荧光强度的降低, 峰形不变, 表现出较弱的阴离子荧光发射。阴离子的荧光猝灭可能是由于异喹啉环 N 原子和 / 或巯基阴离子与异喹啉之间的 PET 作用所致。OESQY 是以两性离子形式的激发态发射, 存在分子内光诱导电子转移反应 (PET), 并且这一过程强烈地依赖于溶液的 pH 值。这一结果对于深入研究异喹啉衍生物以及荧光染料的基础光物理性质和 pH 荧光传感体系的设计具有理论和应用意义。

参 考 文 献

- [1] Jetter M. C., Youngnan M. A., McNally J. J. *et al.* *Bi & Med Chem. Lett [J]*, 2004, **14**(12): 3053—3056
- [2] Muijwijk-Koejen J. E. V., Ymmeman H., Goot H. V. D. *et al.* *J. Med. Chem. [J]*, 2000, **43**: 2227—2238
- [3] Chao Q., Deng L., Shih H. *et al.* *Med. Chem. [J]*, 1999, **42**: 3860—3873
- [4] Senthivelan A., Thirumalai D., Ramakrishnan V. T. *Tetrahedron [J]*, 2005, **61**: 4213—4220
- [5] Sieck O., Ehwald M., Liebscher J. *Eur. J. Org. Chem. [J]*, 2005, **4**: 663—672
- [6] CHEN Guo-Zhen (陈国珍), HUANG Xian-Zhi (黄贤智), XU Jin-Gou (许金钩) *et al.* *Fluorescence Analysis, 2nd Ed (荧光分析法, 第二版) [M]*, Beijing: Science Press, 1990: 84—88
- [7] ZHANG Heng-Jun (张恒君), XU Hong-Bin (许洪彬), ZHAO Ya-Hui (赵亚辉) *et al.* *Chem. J. Chinese Universities (高等学校化学学报) [J]*, 2005, **26**(8): 1541—1543
- [8] MA Li-Hua (马丽花), WEN Zhen-Chang (温珍昌), SUN Xiang-Ying (孙向英) *et al.* *Chem. J. Chinese Universities (高等学校化学学报) [J]*, 2001, **22**(7): 1125—1127

A Study of the pH Effect on O-Ethyl S-Hydrogen N-Isoquinolin-1-yl Carbonothioim idate by Fluorescence Spectroscopy

YU Yun¹, L N Li-Rong^{2*}, YOU Jun², HUANG Rong-B in², ZHENG Lan-Sun^{2,3}

(1. *Chem istry and Material Engineering, Longyan College, Longyan 364000, China;*

2. *College of Chem istry and Chem ical Engineering, Xiam en University, Xiam en 361005, China;*

3. *State Key Laboratory for Physical Chem istry of Solid Surfaces, Xiam en University, Xiam en 361005, China)*

Abstract A new compound, O-ethyl S-hydrogen N-isoquinolin-1-yl carbonothioim idate (OESQY) was synthesized, the photophysical behavior in ethanol and water mixed solution at different pH values was studied by fluorescence spectroscopy. It was observed that OESQY emitted strong fluorescence in its zwitterions. It was also found that by the protonation of nitrogen atoms of OESQY the intramolecular photoinduced electron transfer (PET) took place in the solution. This PET process depended on the acidity of the solution.

Keywords O-Ethyl S-hydrogen N-isoquinolin-1-yl carbonothioim idate (OESQY); Synthesis; Fluorescence spectroscopy; pH effect (Ed : A, G)